

07; 11; 12

(C) 1992

ФОРМИРОВАНИЕ ЛАЗЕРНО-ИНДУЦИРОВАННЫХ  
ПЕРИОДИЧЕСКИХ СТРУКТУР НА КРЕМНИИ  
ПРИ РАЗЛИЧНОМ ДАВЛЕНИИ ВОЗДУХА

И.А. Д о р о ф е е в , М.Н. Л и б е н с о н

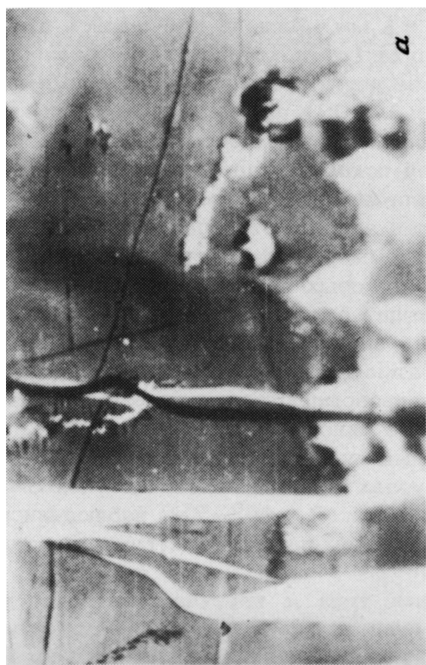
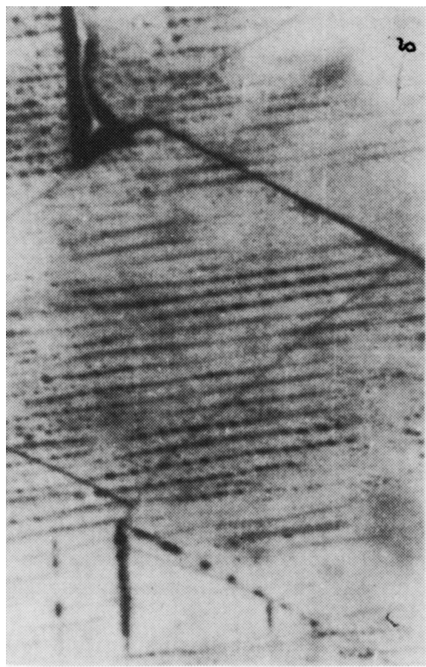
Периодические структуры (ПС) на поверхности кремния наблюдалась при действии лазерных импульсов миллисекундной длительности многими авторами [1-3]. Период и ориентация ПС ведут себя по-разному в зависимости от угла падения, поляризации и ориентации кристаллографических осей мишени даже при небольших изменениях плотности светового потока.

В настоящей работе приведены результаты экспериментов по многоимпульсному формированию ПС на поверхности кремниевых пластин типа КДБ с ориентацией (111) и (100) при различном давлении окружающего воздуха. Эти результаты дополняют и позволяют в значительной степени связать воедино разнообразные предшествующие наблюдения.

В экспериментах использовался неодимовый лазер (длительность импульса  $T_n = 400$  мкс). Излучение фокусировалось на поверхность кремния в пятно диаметром  $\sim 1$  мм. Мишень помещалась в вакуумную камеру, давление воздуха ( $\rho$ ) в которой варьировалось от  $10^5$  до  $10^{-3}$  Па. Воздействие осуществлялось в многоимпульсном режиме (число импульсов  $N = 1-10^3$ ) под различными углами падения  $\alpha$  относительно нормали к поверхности образца ( $\alpha = 0^\circ - 85^\circ$ ) в диапазоне плотностей потоков падающего излучения  $\varrho = (1-3) \cdot 10^5$  Вт/см<sup>2</sup> при различной поляризации. При этом на поверхности кремниевых образцов наблюдаются различные виды деструкции: она покрывается точечным рельефом, оплавляется, растрескивается на элементы, форма которых зависит от кристаллографического типа образца, происходит откол элементов с выносом материала, образуются каверны, раковины и т. д. Растрескивание и откол элементов на воздухе атмосферного давления при многоимпульсном облучении всегда сопровождаются появлением выпуклостей и многочисленных разрывов окисной пленки (рис. 1, а).

При любом из перечисленных видов повреждения кремния неполяризованным светом и при углах падения вплоть до скользящих ( $\alpha \geq 75^\circ$ ) ПС не обнаружены. При  $\alpha \approx 45^\circ - 75^\circ$  наблюдались островки неориентированных и непериодических структур с характерным масштабом  $\sim 3$  мкм.

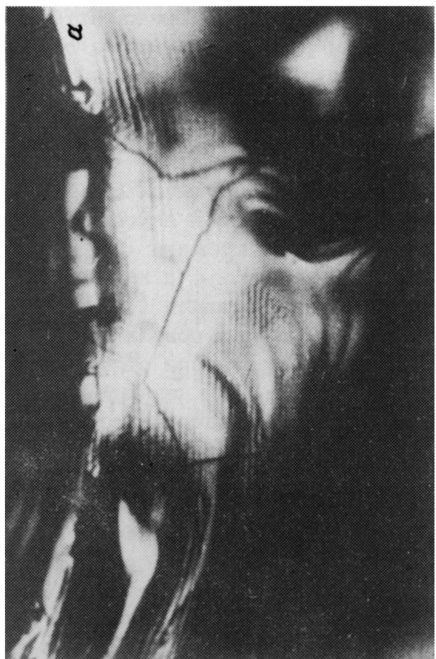
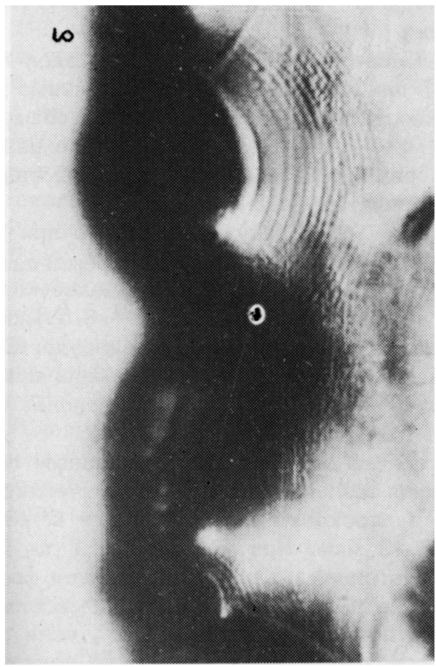
Отметим, что с увеличением угла  $\alpha$  картина становится все более упорядоченной, и облучение кремния под скользящими углами дает одну линейную решетку с периодом  $d = 3.3$  мкм – рис. 1, б. Экспериментами установлено, что такая структура прорабатывается



20 мкм

б

Рис. 1. Фотографии облученной поверхности кремния типа (111) после многоимпульсного ( $\mathcal{N} = 30$ ) лазерного воздействия на воздухе атмосферного давления при  $\alpha = 0^\circ$ ,  $\varphi = 2 \cdot 10^5$  Вт/см $^2$  (а) и  $\alpha = 80^\circ$ ,  $\varphi = 1.8 \times 10^5$  Вт/см $^2$  (б).



20 мкм

Рис. 2. Фотографии облученной при давлении  $\rho = 10^{-3}$  Га поверхности кремния типа (111) при  $N = 10$ ,  $\alpha = 45^\circ$ ,  $\varphi = 2 \cdot 10^5$  Br/cm<sup>2</sup> (а) и типа (100) при  $N = 7$ ,  $\alpha = 0^\circ$ ,  $\varphi = 2.8 \cdot 10^5$  Br/cm<sup>2</sup> (б).

всегда при произвольной ориентации образца относительно плоскости падения лазерного излучения, причем вектор решетки  $\vec{q}$  строго перпендикулярен плоскости падения.

Облучение неполяризованным светом аналогичных образцов кремния в вакууме ( $\rho = 10^{-3}$  Па) при любых  $N$ ,  $\alpha$  и независимо от характера повреждения поверхности приводит к генерации обширных массивов ПС с  $d = 0.9 - 3.3$  мкм (рис. 2, а). Уменьшение давления воздуха приводило к исчезновению окисной пленки; одновременно с этим при  $\rho < 5.5 \cdot 10^2$  Па появлялись фрагменты ПС.

Некоторые ПС, получаемые только в вакууме и только при отклонах, повторяли симметрию источника их возбуждения например, цилиндрического типа (рис. 2, б). Облучение мишенией под скользящими углами в вакууме дает ПС с  $d = 3.3$  мкм, свойства которых такие же, как и при облучении на воздухе. Сравнение показывает, что картина ПС, образуемых на кремнии при многоимпульсном воздействии в вакууме, при наличии отколов поверхностных элементов становится гораздо богаче.

Многоимпульсное воздействие на кремний поляризованным излучением на воздухе атмосферного давления, когда электрический вектор световой волны  $\vec{E}$  лежит в плоскости падения и  $\alpha = 0^\circ - 30^\circ$ , создает фрагменты ПС с  $d \approx 1-3$  мкм. При увеличении  $\alpha$  до  $60^\circ$  на поверхности образцов с ориентацией (111) наблюдаются фрагменты ПС только с  $d \approx 3$  мкм, а на образцах (100) — массивы ПС с  $d \approx 3$  мкм и ориентацией вектора решетки  $\vec{q} \perp \vec{E}$ , если расщепление поверхности не происходит на элементы (в данном случае прямоугольники) большой площади, когда их характерный размер  $l \gg d$ . При мелкомасштабном расщеплении на элементы с  $l \approx d$  ПС ориентированы преимущественно вдоль трещин. При углах  $\alpha > 60^\circ$ , наряду с ПС, период которых составляет 2-3 мкм, наблюдаются фрагменты ПС с  $d \approx 6$  мкм. При скользящем падении излучения на поверхности появляется квазирешетка — набор неровных прерывистых образований, ориентированных преимущественно вдоль плоскости падения. Если вектор  $\vec{E}$  ориентирован перпендикулярно плоскости падения, то при  $\alpha = 0^\circ - 30^\circ$  на кремнии (111) наблюдаются фрагменты решеток с  $d \approx 1.5 \pm 0.3$  мкм, а при  $\alpha = 30^\circ - 60^\circ$  ПС такого же периода. На образцах с ориентацией (100) в аналогичных условиях образуется система точечных повреждений.

Существенно иная картина ПС имеет место при облучении кремния поляризованным излучением в вакууме. При произвольной ориентации вектора  $\vec{E}$  относительно плоскости падения лазерного излучения на образцах с ориентацией (111) и (100) всегда возникают массивы ПС с  $d = 1 - 3$  мкм при  $\alpha = 0^\circ - 60^\circ$ . Наряду с ними наблюдаются решетки, образованные в результате интерференции падающей и поверхностной электромагнитных волн (ПЭВ), с характерной зависимостью периода от  $\alpha$  и  $\vec{E}$  [4]. При скользящих углах падения выявляется квазирешетка, вытянутая вдоль плоскости падения с фрагментами другой, ортогональной ей структуры.

Таким образом, в данной работе показано, что генерация ПС на кремнии существенно зависит от давления окружающего воздуха.

В условиях пониженного давления ( $\rho \ll 10^5$  Па) при многоимпульсном воздействии на поверхности кремния образуется массив ПС с  $d = 1-3$  мкм, период и ориентация которых не связаны с углом падения света  $\alpha$ , состоянием поляризации излучения и кристаллографическим типом кремния. Наряду с этими структурами, наблюдаются ПС интерференционного типа, а также решетки, ориентация которых зависит от кристаллографии образца. Обнаружены ПС, форма которых определяется симметрией источника их возбуждения, не связанного с ПЭВ. Механизмом генерации таких ПС может быть локальная деформация поверхности при отколовах. При повышенном давлении воздуха ( $\rho \sim 10^5$  Па) генерации ПС, по-видимому, препятствует окисление поверхности. Воздействие поляризованным излучением в тех же условиях может вызывать сложные процессы резонансного возбуждения ПЭВ при плавлении полупроводника и волноводных мод в растущем слое окисла. Интерференция волн с учетом кристаллографии образца определяет период и ориентацию ПС. Следует отметить возможность формирования линейной решетки с периодом  $\sim 3.3$  мкм при скользящем падении неполяризованного излучения на мишень, физический механизм формирования которой остается не до конца ясным.

#### Список литературы

- [1] Von Allmen M. // Appl. Phys. Lett. 1978. V. 33. N. 9.
- [2] Вейков В.П., Дорофеев И.А., Имас Я.А. Капутина Т.И., Либенсон М.Н., Шандыбина Г.Д. // Письма в ЖТФ. Т. 10. № 1. С. 15-20.
- [3] Кокин А.Н. // ЖТФ. 1989. Т. 59. С. 174-176.
- [4] Бонч-Бруевич А.М., Коченгина М.А., Либенсон М.Н., Макин В.С., Пудков С.Д., Трубаев. // Изв. АН СССР. 1982. Т. 46. № 6. С. 1186-1193.

Поступило в Редакцию  
15 апреля 1992 г.